

## 공진특성을 이용한 DC - DC Converter에 관한 연구

노재근 김성철 배진호  
영남대학교 전기공학과

신동삼  
(주) 광명전기

A study on DC - DC Converter using characteristic of series resonance

Chae Gyun Ro Sung Chul Kim<sup>o</sup>

Jin Ho Bae

Dong Sam Shin\*

Department. of Electrical Engineering University of Yeungnam \*Kwang Myung Electrical Co., LTD.

This paper concerns a DC-DC converter using the characteristic of series resonance. Operation principle of the system described by the proposed equations is illustrated. Characteristics of steady state of the system which is essential to system design is evaluated for frequency and pulse width characteristic using dimensionless parameter. The proposed circuit based on constant voltage control uses the Pulse Width Modulation - Time Ratio Control method.

### 1. 서론

최근 가전, 민생기기를 비롯하여 방송, 통신기기, 제어기기 그리고 전자계산기, 정보관련기기, 신 에너지 이용기기 등의 전자용기기 장치가 폭넓게 보급되고 대단히 다양화 되고 있다. 전자용기기는 IC, LSI 등의 micro-Electronic기술보급에 따라 현저히 소형화 되고 있으나, 그 심장부인 전원장치부의 소형경량화, 저소음화, 고출력화 등의 실제적 요구를 충족시키기 위해 활발히 연구개발 되고 있다. (1)

전자기기용 전원기술은 거시적으로 볼 때 직류안정화 전원기술(DC-DC Converter 회로기술과 제어기술)이라 말할 수 있으며 이것도 장치 전체의 실제적 요구에 부응하기 위하여 series regulator방식에서 스위칭전원방식으로 장치기술이 변환하고 있다. 고주파 스위칭용 전력반도체소자의 진보에 따라 지금은 스위칭전원의 고주파화에 관한 회로와 시스템의 평가가 요구되고 있다.

고주파 스위칭전원의 회로기술은 고주파 chopper제어방식과 고주파 인버터 제어방식으로 대별할 수 있으며, 이것은 반

도체 Power Electronic기술을 확대화하는 신기술의 하나로 부각되고 있다. 신형전력용 스위칭소자는 고주파영역에서 스위칭 동작이 가능 하므로 장치의 소형경량화, 고성능화 등을 달성할 수 있으며, 이들의 응용기술 연구가 요구된다. (2)(3)  
본고는 이러한 배경을 기초로 하여, 개발된 신형반도체 스위칭소자 특히 자기소호형소자를 중심으로하여, LC공진형 고주파 인버터제어를 기본으로 한 PWM방식 전력용 고주파 DC-DC 페너터의 일반식을 제안하고, 제안회로의 동작원리 및 설계 전단계에서 요구되는 정상특성평가를 주파수 특성, 펄스폭 제어특성 등에 관해 범용성이 있게 기술하고 있다.

### 2. 제안 직렬공진형 DC-DC Converter

그림 1은 자기소호형 소자를 사용한 회로구성을 나타내고 있으며 그림 2는 그림 1의 각부 동작파형을 나타내고 있다. 그림 1에서 스위칭 소자에 직렬 다이오드 D<sub>1</sub>, D<sub>2</sub>는 역방향 전압을 분담시키기 위한 것으로 고효율 다이오드가 유용하다. 그림 1회로의 기본 동작원리는 t=0에서 SW<sub>1</sub>이 turn on하면 E-D<sub>1</sub>-SW<sub>1</sub>-L<sub>1</sub>-C<sub>2</sub>의 페회로와 C<sub>1</sub>-D<sub>2</sub>-SW<sub>1</sub>-L<sub>1</sub>의 페회로가 형성되

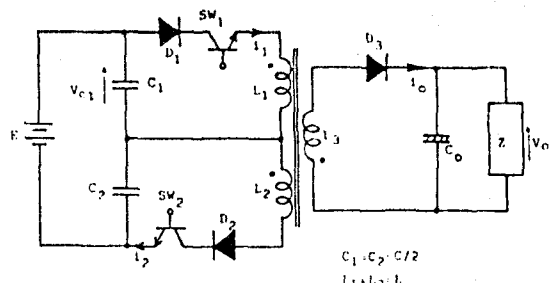


그림 1. 자기소호형소자를 사용한 회로구성

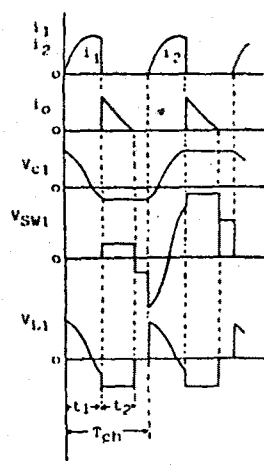


그림 2. 그림 1의 각부 동작파형

어 각각의 회로에는 공진전류가 흐른다.  $L_1, SW_1$ 에는 공진주파수  $B=1/\sqrt{LC}$ 의 공진전류  $I_1$ 이 흐른다. ( $t=0 \sim t_1$ ). 이 사이에 flyback 다이오드  $D_3$ 는  $I_1$ 에 의한 2차측 reactor  $L_3$  유기전압  $V_{L3}$ 와 부하전압  $V_o$ 의 합으로 역바이어스되어 cut off 상태로 된다.

이 합이 영으로 되기전 즉  $t=t_1$ 에서  $SW_1$ 에 의해  $I_1$ 을 강제적으로 cut off 한다. 이때 발생한 Ringing Chock 현상에의 해  $D_3$ 를 강제적으로 turn on한다.

리액터  $L_1$ 에 축적된 전자에너지  $1/2 L_1(I_1(t))^2$ 이  $L_3$ 에 전송되어 부하로 방출된다. 이 에너지가 소실될때까지  $D_3$ 에는 부의 ( $-V_o/L_3$ )의 기울기로 텅트상 부하전류  $I_o$ 가 흐른다. ( $t=t_1 \sim t_1+t_2$ ).  $I_o$ 가 영이 된후 휴지기간  $t_d(T_{ch}-t_1-t_2)$ 가 경과한후  $SW_2$ 가 turn on되어 같은 회로동작이 순차적으로 행하여 진다.

그림 1의 회로에서 스위칭소자로 Thyristor를 사용할 경우는 부하전압  $V_o$ 는 Thyristor의 trigger주파수를 가변하는 PWM-TRC방식의 제어가 가능하나, 출력전류 즉 전류의 리풀이 크게되므로 초기주파수의 제어범위를 제한하지 않으면 실용성이 없음을 알수있다. 이에대해 자기소호형 소자를 사용할시는 도통시간  $t_1$ 을 제어하는 것에 의해  $V_o$ 를 제어할수 있으므로 PWM-TRC제어로 회로를 안정되게 동작 시킬수 있다는 것이 특징이다.

그림 3은 필자가 제안하는 자기소호형 스위칭 고자를 사용한 PWM-TRC방식의 전력용 직렬 공진형 DC/DC 컨버터의 회로구

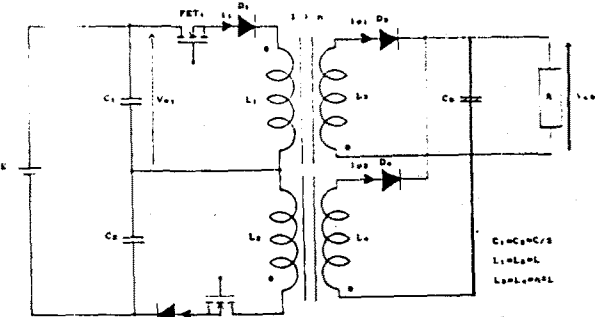


그림 3. 제안 DC/DC 컨버터 회로구성

성을 나타내고 있다.

이 회로의 동작설명과 특성해석을 위하여 다음과 같은 가정을 한다.

- 1) 스위칭 소자들의 순방향 전압강하는 영으로 한다.
- 2) 리액터, 룬먼서, 배선의 손실은 무시한다.
- 3) 에너지 전송용 변성기는 완전결합 한다.
- 4) 평활 룬먼서  $C_0$ 는 용량이 충분히 크다.

제안회로는 그림 1의 리액터 결합계를 2개로 분할하여  $I_1, I_2$  각각에 대응하는 부하전류에 각각 독립의 회로를 갖도록 구성 되어있다.

### 3. 동작상태 분류와 해석

그림 3의 제안회로는  $SW_1, D_3, SW_2, D_4$ 의 on/off 상태에 의해 그림 4와 같이 3개의 동작상태로 나타난다.

#### \* 1) 동작상태 I ( $t_1+t_2 \leq T_{ch}$ )

에너지 축적모드와 에너지 방출모드가 동시에 존재하자 않는 휴지모드가 존재 하므로 파형 개선의 효과는 없다.

#### \* 2) 동작상태 II ( $t_2 \leq T_{ch} \leq t_1+t_2$ )

에너지 축적모드와 에너지 방출모드가 동시에 행하여 지고있고, 리액터 결합계를 분할 하므로 이어서  $I_1, I_2$ 의 초기치는 영이되고 소자의  $dI/dt$ 는 적다. 그러나  $I_{o1}$ 과  $I_{o2}$ 가 동시에 흐르는 동작은 하지 않는다.

#### \* 3) 동작상태 III ( $t_1 > T_{ch}, t_1+t_2 \geq 2T_{ch}$ )

동작상태 III의  $I_{o1}, I_{o2}$ 의 흐르는 시간보다 더욱  $I_{o1}, I_{o2}$ 의 통류하는 시간  $t_2$ 가 길게되고  $I_{o1}, I_{o2}$ 가 동시에 흐르는 시간이 존재하는 동작이다. 이때 출력전류  $I_o$ 는 직류성분을 갖고 연속적으로 흐르기 때문에 출력전류 리풀은 개선된다.

이 동작상태는 스위칭소자에는 항상 정의 전압이 인가 되는

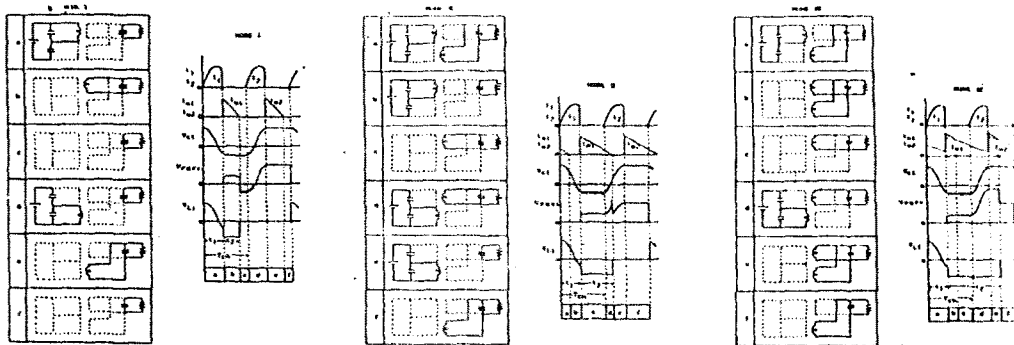


그림 4. 동작 등가회로와 동작파형

것이 주목할 점이다.

제안회로의 일반정상에는 상술한 3개의 동작상태로부터 스위칭소자의 전류  $I_{1,2}$ , 부하측의 flyback다이오드전류  $I_{01}$ ,  $I_{02}$  뿐만 아니라  $C_1$ 의 전압  $V_{c1}$  으로하는 동일한 식으로 표현할 수 있으므로 표 1에서 보여주는 서브-모드에 의해 해를 구할 수 있다. 각 서브-모드에 대한 상태방정식은 다음과 같이 된다.

#### \* 서브모드 a<sub>1</sub>

$$\frac{d}{dt} \begin{bmatrix} I_1 \\ V_{c1} \\ E \end{bmatrix} = \begin{bmatrix} 0 & -1/L & 1/L \\ 1/C & 0 & 0 \\ 0 & 0 & 0 \end{bmatrix} \begin{bmatrix} I_1 \\ V_{c1} \\ E \end{bmatrix}$$

#### \* 서브모드 a<sub>2</sub>

$$\frac{d}{dt} \begin{bmatrix} I_2 \\ E-V_{c1} \\ E \end{bmatrix} = \begin{bmatrix} 0 & -1/L & 1/L \\ 1/C & 0 & 0 \\ 0 & 0 & 0 \end{bmatrix} \begin{bmatrix} I_2 \\ E-V_{c1} \\ E \end{bmatrix}$$

#### \* 서브모드 b<sub>1</sub>

$$\frac{d}{dt} I_{01} = -\frac{V_0}{n^2 L}$$

#### \* 서브모드 b<sub>2</sub>

$$\frac{d}{dt} I_{01} = -\frac{V_0}{n^2 L}$$

서브모드를 갖는 단속 회로계를 초기조건의 연속성과 정상

주기 상태를 고려한 정상주기 해는 표 2와 같다.

#### 4. 특성평가

특성평가의 범용성을 부여하기 위해 표 3과 같이 무차원화 파라미터를 도입 하기로 한다.

그림 5는  $d_1=1.8$ 의 경우의  $\mu-\alpha$  특성을 나타내고 있다. 그림에서  $d_1, \eta'$  가 일정할경우 초퍼주파수가 증가함에 따라 평균 출력전압은 상승된다. 또 부하저항  $\eta'$  가 커질수록  $\alpha$ 도 커

표 1. 서브-모드

	기간	KME	KME	KME
submode a <sub>1</sub> 아니지속(node 0~ts t <sub>1</sub> )	a	a,b	a	
submode b <sub>1</sub> 아니지속(node t <sub>1</sub> ~ts t <sub>2</sub> t <sub>3</sub> )	b	c,d	b,c,d,e	
submode a <sub>2</sub> 아니지속(node ts t <sub>2</sub> ~t <sub>3</sub> )	d	d,e	d	
submode b <sub>2</sub> 아니지속(node t <sub>3</sub> ~ts t <sub>4</sub> t <sub>5</sub> )	e	f,g	e,f,g,h	

표 2. 정상주기 해

submode a <sub>1</sub>	$I_1(t) = \frac{1}{2(1+\cos\theta_1)} \sin\theta_1$ $V_{c1}(t) = \frac{1}{1+\cos\theta_1} \cos\theta_1$
submode b <sub>1</sub>	$I_{01}(t) = \frac{E \sin\theta_1}{n^2 L(1+\cos\theta_1)} - \frac{V_0}{n^2 L} (t-t_1)$
submode a <sub>2</sub>	$I_2(t) = \frac{1}{2(1+\cos\theta_2)} \sin\theta_2$
submode b <sub>2</sub>	$I_{01}(t) = \frac{E \sin\theta_2}{n^2 L(1+\cos\theta_2)} - \frac{V_0}{n^2 L} (t-t_2)$
	$\beta = 1/\sqrt{LC}$ $L = \sqrt{LC}$

표 3. 무차원화 파라미터

0	무차원화 평균 출력전압	$\bar{U}_0 = V_0/\bar{U}$
1	무차원화 주파수	$\bar{\nu} = \nu_0/\sqrt{LC}$
2	무차원화 부하저항	$\bar{\eta}' = \eta'/(\sqrt{LC})$
3	무차원화 아니지속시간	$\bar{d}_1 = d_1/\sqrt{LC}$
4	무차원화 아니지속시간	$\bar{d}_2 = d_2/\sqrt{LC}$

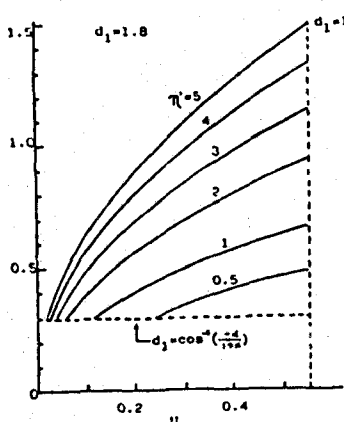
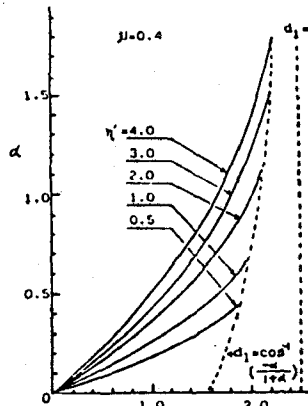
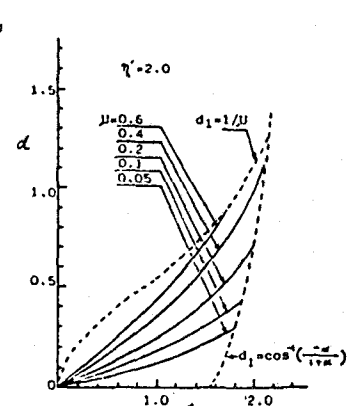
그림 5.  $\mu$ - $a$  특성

그림 6. d1-a 특성



지므로 부하변동에 대해 평균 출력전압 일정제어를 하기위해  
초퍼주파수  $f_{ob}$ 를 제어하면 된다는 것을 의미한다.

그림 6(a)는  $\eta' = 0.4$ 의 경우  $d_1$ - $a$  특성을 나타내고 있다. 평균  
출력전압  $V_o$ 는 전부 부하저항  $R$ 에서 소비되고 있다면

$$V_o/R = 1/T_{ob} \int_0^{T_{ob}} i_o(t) dt \text{로부터 표 3의 무차원화 파라메타}$$

를 도입하여  

$$a = \sqrt{\frac{\mu\eta'}{2}} \cdot \frac{\sin d_1}{1 + \cos d_1}$$
 보인다.

따라서  $d_1$ 이 증가함에 따라  $\sin d_1 / 1 + \cos d_1$ 은 단조증가 하기 때문에  $a$ 도 단조증가하고  $\eta'$ 가 커질수록  $a$ 는 증가함을 알 수 있다. 또 일정  $\eta'$ 에서는  $\mu$ 가 클수록  $a$ 는 커지고 있다.

이상의 사실로 부하변동에 대해 펄스폭을 가변시켜 평균  
출력전압을 일정하게 할 수 있다. 즉 일정 출력전압 제어를 위  
해 부하저항이 증가하면 펄스폭  $t_1$ 을 적게하는 방향으로 제  
어하면 된다.

## 5. 실험결과

그림 3의 제안회로에 있어서 실험에 사용한 각 회로정수는  
 $C=2\mu F, C_o=200\mu F, L=95\mu H, n=1$ 로 하였다. 그림 7은 그림 3의 제  
안회로에서 PWM-TRC방식에 의한 정전압 제어회로 구성을 보여  
주고 있다. 그림 8은  $t_1=18(\mu sec)$ 일 경우 주파수-출력전압특성  
의 이론치와 실험치를 나타내고 있다. 거의 일치하므로 실험  
결과는 이론의 정당성을 입증하고 있다.

## 6. 결 론

본 논문은 저기소호형소자를 사용한 전력용 직렬공진형  
DC-DC 콘버터의 구체적인 회로를 제시 하였고 동작원리와 특  
징에 대해 논하였다. 더욱이 PWM-TRC제어방식을 사용한 제어

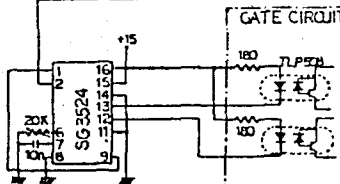
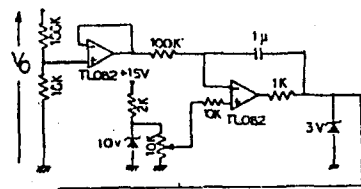


그림 7. PWM-TRC 제어회로 구성

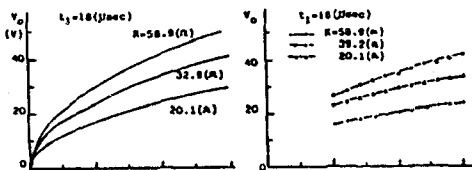


그림 8. 실험치와 이론치의 비교

계를 구성시켜 실험한 결과 이론의 정당성을 확인하였다.

또 회로설계 전단계에 필요한 특성평가를 행하여 기본회로  
설계자료를 제공하였다.

## 참고문헌

1. 차인수 : 전력MOSFET를 이용한 고주파 공진형 DC-DC콘버터  
의 설계와 해석. 89전기학회 학술대회 논문집
2. 김동희 : チョークインプットフルタ 負荷時の A-SCR 高  
波インバータ 制御 共振形 コンバータと 特性解析  
信學技報 Vol. 85, No. 51. (1985)
3. Patrick W. CLARKE : Self - commutated Thyristor  
DC to DC Converter, IEEE, Vol. MAG-6, No. 1 March  
1970. pp. 10 ~ 15